

## بعض الخواص النووية لنظائر الجermanium $^{68,70,72}\text{Ge}$

### ذات التناظر الديناميكي (5) U باستخدام نموذج IBM-1

علي عبد الوهاب رضا  
جامعة ذي قار - كلية العلوم - قسم الفيزياء

#### الخلاصة

أستخدم نموذج البوزونات المتفاعلة الأول (IBM-1) في البحث الحالي لدراسة بعض الخواص النووية لنظائر الجermanium  $^{32}\text{Ge}$  (A=68,70,72) ذي الحركة الإهتزازية للتناظر الديناميكي (5) U. لقد وجد بأن هذه النظائر تتنمي إلى التناظر الديناميكي (5) U بمقارنة مستويات الطاقة العملية بالمخيط المثالي للترازير الديناميكية الثلاث (3), O(6), SU(3), E( $8_1^+$ )/E( $2_1^+$ ), U(5) وكذلك مقارنة نسب الطاقات, E( $6_1^+$ )/E( $2_1^+$ ), E( $4_1^+$ )/E( $2_1^+$ ) مع القيم المثالية لهذه الترازيرات. وبعدها جرى حساب مستويات الطاقة وإنتقالياتها لهذه النظائر بالإعتماد على العدد الكلي للبوزونات (N)، كما وتم قياس الانتقادات الكهربائية رباعية القطب (E2) B وعناصر المصفوفة المختلطة (T(E2) T والعزوم الكهربائية رباعي القطب  $Q_1$  لمستويات الحالة الأرضية التي تعد مقياساً للتشوهات النووية. ثم قورنت النتائج الحالية مع القيم العملية المتوفرة فكانت متوافقة بشكل جيد.

#### المقدمة

والتي تمتلك خواص نووية محددة Deshalit and Feshbach (1974)

أما نموذج البوزونات المتفاعلة الأول (IBM-1) فيعالج حركة النيوكليليونات داخل النواة على أساس أنها حركة مجموعة من الجسيمات المزدوجة تدعى بالبوزونات (Bosons) والتي تمثل أزواج من البروتونات او النيوترونات الموجودة خارج اقرب قشرة مغلقة (Arima and Iachello 1987). لقد وجد بأن الأصدار الأولى من نموذج البوزونات المتفاعلة يتميز بمعالجة النظائر الزوجية - زوجية ذات التمايل الموجب (<sup>(٧)</sup>positive parity) والتي تتنمي إلى المجموعة الاهتزازية المتمثلة بالتناظر الديناميكي (5) U والتناظر

يعتبر نموذج (IBM-1) الذي اقترح من قبل Arima A. and Iachello F. 1974 أحد النماذج النووية الحديثة التي نجحت في ايجاد معظم الخواص النووية، إذ يعطي قيم نظرية جيدة مقاربة لقيم العملية وإمكاناته في تفسير إنحلال المستويات النووية المتهدجة والتي تؤدي إلى إبعاث أشعة كما Bonatsos (1988)، إذ يتراول نموذج القشرة Shell Model (Shell Model) حرقة الجسيم الواحد المتهدج لذا تم من خلاله ايجاد الأعداد الثابتة للنيوكليليونات داخل الأغلفة المغلقة والتي تسمى بالأعداد السحرية للنيوكليليونات Magic Numbers وهي (2,8,20,28, 50, 82, 126,...)

للتshawهات النووية، ويمكن كتابته بالشكل التالي  
:Bonatsos (1988)

$$\mathcal{L}_I = \sqrt{\frac{16\pi}{5}} \begin{pmatrix} I & 2 & I \\ -I & 0 & I \end{pmatrix} \left\langle I_f \right| \hat{T}^{(E2)} \left| I_i \right\rangle \quad \dots \dots \dots (4)$$

### النتائج والمناقشة:

في البداً صنفت جميع نظائر الجermanium ومن ثم اختيار النظائر التي تنتمي للترازير الديناميكي U(5) حسب نموذج IBM-1 لأنجاز البحث الحالي وتم مقارنة E(8<sub>1</sub><sup>+</sup>)/E(2<sub>1</sub><sup>+</sup>) , E(6<sub>1</sub><sup>+</sup>)/E(2<sub>1</sub><sup>+</sup>) مع القيم العملية والمثلية وكذلك مقارنة ترتيب مستويات الطاقة مع الشكل المثالي للترازير الديناميكية SU(3), O(6), U(5) وكما مبين في الجدول (١)، حيث أن لكل ترازير ديناميكي معادلة خاصة به لإيجاد دالة المؤثر الهايلتوني والمستخدمة في حساب مستويات الطاقة ونسبها وانتقالات كاما.

يوضح الجدول (٢) عدد البوزوونات الكلية (N) العائدة لنظائر الجermanium والذي يساوي مجموع البوزوونات نوع □□□□□ والمعتمدة على العدد الكتلي، إذ يمتلك النظير <sup>70</sup>Ge خمسة بوزوونات نيوترونية N<sub>n</sub> بينما النظير <sup>72</sup>Ge يمتلك خمسة فجوات (holes). كما ويوضح اعلمات معادلة الدالة الهايلتونية (المعادلة ١) المستخدمة لحساب مستويات الطاقة وانتقالاتها واعلمات الانتقالات الكهربائية رباعية القطب اللازمة لايجاد قيم  $\hat{T}^{(E2)}$  (المعادلات Q<sub>I</sub>, B(E2), IBMT.For, 4,3,2 المستخدمة في البرنامجين IBM-1، IBS1.For).

يلاحظ من الشكل دورية في الارتفاع والانخفاض بين هذه المستويات التي تمثل أهم الانتقالات.

الديناميكي (6) حسب نموذج (IBM-1) (Rowe 1970).

إن برنامج (IBS1. For) المستخدم في هذا البحث والذي يعتبر أحد أهم برامج نموذج (IBM-1) يقوم بحساب القيم الذاتية (eigen values) والتجهيزات الذاتية (eigen vectors) والانتقالات الكامية للمستويات النووية وذلك من خلال أعلمات خاصة بدالة هاملتون. أما برنامج IBMT.For فيقوم بإيجاد الانتقالات الكهربائية رباعية القطب وعناصر المصفوفة المختزلة لها وقيم العزوم الكهربائية معتمداً على القيم الذاتية التي يحصل عليها ضمن النموذج وذلك من خلال استخدام المعادلات الموضحة في الجزء النظري.

### الجزء النظري:

مؤثر دالة هاملتون وفق نموذج (IBM-1) بالنسبة للترازير الديناميكي U(5) يكتب بدالة مؤثرات التوليد Creation and Annihilation (الخلق) والفناء (operators

: Bonatsos (1988) بالشكل التالي

$$\hat{H} = \epsilon \hat{n}_d + a_1 \hat{I}^2 + a_3 \hat{T}_3^2 + a_4 \hat{T}_4^2 \quad \dots \dots \dots (1)$$

حيث أن: a<sub>1</sub>, a<sub>3</sub>, a<sub>4</sub>, ε أعلمات تستخدم في نموذج (IBM-1) لحساب دالة هاملتون، مؤثر الانتقالات الكهربائية رباعية القطب  $\hat{T}^{(E2)}$  حسب نموذج (IBM-1) يكتب بالشكل التالي (Casten and Warner 1988) :

$$\hat{T}^{(E2)} = \alpha_1 \left[ \hat{d}^+ \times \hat{s} + \hat{s}^+ \times \hat{d} \right]_{\mu}^{(2)} + \beta_2 \left[ \hat{d}^+ \times \hat{d} \right]_{\mu}^{(2)} \quad \dots \dots \dots (2)$$

حيث أن: α<sub>2</sub> يمثل أعلمدة الشحنة المؤثرة للبوزوون (effective charge of boson).

β<sub>2</sub> هو أعلمدة تأثير حدود الجسم الواحد (boson).

أما عن إمكانية الانتقالات الكهربائية رباعية القطب (B(E2) يمكن حسابها من خلال عناصر المصفوفة المختزلة  $\hat{T}^{(E2)}$  وحسب المعادلة التالية (Arima and Iachello 1987) :

$$B(E2; I_i \rightarrow I_f) = \frac{1}{2I+1} \left| \left\langle I_f \right| \hat{T}^{(E2)} \left| I_i \right\rangle \right|^2 \quad \dots \dots \dots (3)$$

إنَّ عزم رباعي القطب الكهربائي (Q<sub>I</sub>) (Electric Quadrupole Moment) يعتبر مقياس مهم

النظير Ge-70 ودورها أكبر من النظير Ge-72، كما وبين التطابق الجيد بين المنحنيات النظرية والعملية لهذه النظائر.

جدول (٣) : مستويات الطاقة النظرية وانتقالاتها ومقارنتها مع القيم العملية (1984) Sakai لنظائر IBS1.For الجرمانيوم باستخدام برنامج IBM-1.

Isotope	I <sup>+</sup>	Energy Levels (MeV)		I <sup>+</sup>	I <sup>+</sup>	Transition Energy (MeV)	
		Exp.	IBM-1			Exp.	IBM-1
Ge-68	0 <sub>1</sub>	0.0000	0.0000				
	2 <sub>1</sub>	1.0158	0.9622	2 <sub>1</sub>	0 <sub>1</sub>	1.0158	0.9622
	0 <sub>2</sub>	1.7530	1.5007	0 <sub>2</sub>	2 <sub>1</sub>	0.7372	0.5385
	2 <sub>2</sub>	1.7779	1.8325	2 <sub>2</sub>	2 <sub>1</sub>	0.7621	0.8703
				2 <sub>2</sub>	0 <sub>1</sub>	1.7779	1.8325
	4 <sub>1</sub>	2.2679	2.1404	4 <sub>1</sub>	2 <sub>1</sub>	0.4900	0.3079
				4 <sub>1</sub>	2 <sub>1</sub>	1.2521	1.1782
	3 <sub>1</sub>	2.4288	2.8748	3 <sub>1</sub>	4 <sub>1</sub>	0.1609	0.7344
				3 <sub>1</sub>	2 <sub>1</sub>	0.6509	1.0423
	0 <sub>3</sub>	2.6170	2.6109	0 <sub>3</sub>	2 <sub>1</sub>	0.8391	0.7784
				0 <sub>3</sub>	2 <sub>1</sub>	1.6012	1.6487
	4 <sub>2</sub>	2.8340	3.0507	4 <sub>2</sub>	4 <sub>1</sub>	0.5661	0.9103
				4 <sub>2</sub>	2 <sub>1</sub>	1.0561	1.2182
				4 <sub>2</sub>	2 <sub>1</sub>	1.8182	2.0885
	2 <sub>3</sub>	2.9470	2.4631	2 <sub>3</sub>	3 <sub>1</sub>	0.5132	0.0343
				2 <sub>3</sub>	4 <sub>1</sub>	0.6741	0.3227
				2 <sub>3</sub>	2 <sub>1</sub>	1.1641	0.6306
	2 <sub>4</sub>	3.0240	3.3336	2 <sub>4</sub>	2 <sub>1</sub>	0.0830	0.8705
				2 <sub>4</sub>	0 <sub>1</sub>	0.4080	0.7227
	0 <sub>4</sub>	3.2040	3.0019	0 <sub>4</sub>	2 <sub>1</sub>	1.4261	1.1694
	2 <sub>5</sub>	3.5250	3.6932	2 <sub>5</sub>	0 <sub>1</sub>	0.9080	1.0823
				2 <sub>5</sub>	3 <sub>1</sub>	1.0962	0.8184
	4 <sub>3</sub>	3.6040	3.6414	4 <sub>3</sub>	2 <sub>1</sub>	0.6620	1.1783
				4 <sub>3</sub>	4 <sub>1</sub>	0.7700	0.5907
	6 <sub>1</sub>	3.6960	3.5346	6 <sub>1</sub>	4 <sub>1</sub>	0.8620	0.4839
				6 <sub>1</sub>	4 <sub>1</sub>	1.4281	1.3942
	2 <sub>6</sub>	3.8110	3.9644	2 <sub>6</sub>	2 <sub>1</sub>	0.7860	0.6308
	4 <sub>4</sub>	4.0210	4.0011	4 <sub>4</sub>	4 <sub>1</sub>	1.1870	0.9504
	0 <sub>5</sub>	4.0780	4.1122	0 <sub>5</sub>	2 <sub>1</sub>	1.1360	1.6491
	5 <sub>1</sub>		4.2210	5 <sub>1</sub>	6 <sub>1</sub>		0.6864
				5 <sub>1</sub>	4 <sub>1</sub>		2.0806
	2 <sub>7</sub>	4.3220	4.6837	2 <sub>7</sub>	2 <sub>1</sub>	0.7970	0.9905
	0 <sub>6</sub>	4.3580	4.5034	0 <sub>6</sub>	2 <sub>1</sub>	1.3330	1.1698
	3 <sub>2</sub>		4.3761	3 <sub>2</sub>	3 <sub>1</sub>		1.5013
	6 <sub>2</sub>	4.4550	4.4850	6 <sub>2</sub>	6 <sub>1</sub>	0.7590	0.9504
				6 <sub>2</sub>	4 <sub>1</sub>	1.6210	1.4343
	4 <sub>5</sub>		4.5520	4 <sub>5</sub>	2 <sub>1</sub>		2.7195
	2 <sub>8</sub>		4.8351	2 <sub>8</sub>	2 <sub>1</sub>		3.0026
	4 <sub>6</sub>		4.9916	4 <sub>6</sub>	4 <sub>1</sub>		0.9905
	6 <sub>3</sub>		5.0359	6 <sub>3</sub>	6 <sub>1</sub>		1.5013
	8 <sub>1</sub>		5.1447	8 <sub>1</sub>	6 <sub>1</sub>		1.6101
	5 <sub>2</sub>		5.2115	5 <sub>2</sub>	5 <sub>1</sub>		0.9905
	6 <sub>4</sub>		5.4754	6 <sub>4</sub>	6 <sub>1</sub>		0.9904
	0 <sub>7</sub>		5.5822	0 <sub>7</sub>	2 <sub>1</sub>		1.8890
	5 <sub>3</sub>		5.7226	5 <sub>3</sub>	5 <sub>1</sub>		1.5016

جدول (١) : قيم نسب الطاقات  $E(4_1^+)/E(2_1^+)$  ،  $E(6_1^+)/E(2_1^+)$  ،  $E(8_1^+)/E(2_1^+)$  ومقارنتها مع القيم العملية Lederer et al (1987) Arima and Iachello (1978) حسب نموذج IBM-1.

Dynamical Symmetry	$E(4_1^+)/E(2_1^+)$	$E(6_1^+)/E(2_1^+)$	$E(8_1^+)/E(2_1^+)$
U(5)	2	3	4
O(6)	2.5	4.5	7
SU(3)	3.33	7	12
Isotope	Exp.	IBM-1	Exp.
Ge-68	2.2326	2.2245	3.6411
Ge-70	2.0713	2.1393	3.1719
Ge-72	2.0683	2.1982	7.7711
			3.5979
			—
			5.1960

جدول (٢) : عدد البوزنات وقيم أعلمومات مؤثر دالة هاملتون واعلمومات الانتقالات الكهربائية رباعية القطب لنظائر الجرمانيوم المستخدمة في برنامج نموذج IBM-1.

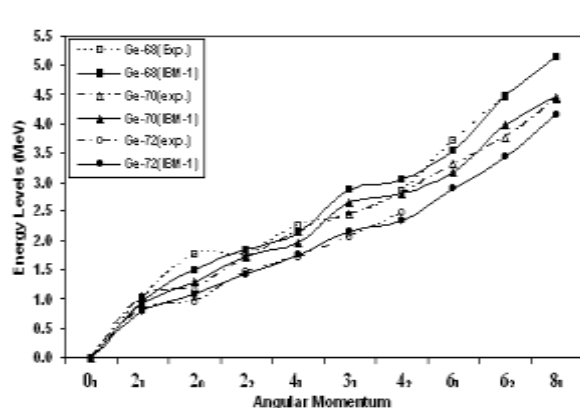
Isotope	N <sub>x</sub>	N <sub>y</sub>	N <sub>z</sub>	EPS (MeV)	A <sub>11</sub>	A <sub>22</sub>	A <sub>33</sub>	T <sub>3</sub> T <sub>3</sub> (MeV)	T <sub>4</sub> T <sub>4</sub> (MeV)	a <sub>1</sub> (eb)	b <sub>2</sub> (eb)
Ge-68	2	4	6	0.7500	0.0260	0.0400	0.0001	1.19800	-0.03240		
Ge-70	2	5	7	0.9000	0.0153	0.0400	-0.0700	1.21480	-0.04100		
Ge-72	2	5	7	0.8000	0.0201	0.0051	-0.0701	1.36140	-0.06100		

يبين الجدول (٣) القيم التي تم الحصول عليها لمستويات الطاقة وانتقالاتها كما ومقارنتها مع القيم العملية، ويشير الشكل (١) إلى العلاقة بين طاقة المستويات والزخم الزاوي للحالة الأرضية وبعض المستويات المنخفضة التي تؤثر في التشوهدات النووية. وبمقارنة المنحنيات يتضح التطابق الكبير بين القيم التي تم الحصول عليها حسب نموذج IBM-1 لنظائر الجرمانيوم في البحث الحالي والقيم العملية.

أما الشكل (٢) فيبيين العلاقة بين طاقات كما الناتجة من انتقال النيوكلينونات بين المستويات المشار إليها في المحور-X ، حيث واعلى قيمة كانت بين المستوى 81--61-- وهذا متوقع لأنه يمثل أعلى مستوى أرضي إذ أن هناك تدرج في الارتفاع بين المستويات 01---21---41---61 ، يتضح من الشكل أيضاً أن طاقات انتقالات كما للنظير Ge-68 كانت أكبر منها في

Isotope	$I^\pi$	Energy Levels (MeV)		Transition Energy (MeV)
		EXP.	IBM-1	
	$3_1^+$	4.1016	$3_1^+$	1.4400
	$8_1^-$	4.4320	$8_1^-$	1.1345
	$5_2^+$	4.4930	$5_2^+$	0.7200
	$6_1^+$	4.5906	$6_1^+$	0.6220
	$7_1^+$	5.0128	$7_1^+$	1.2398
	$8_2^+$	5.1776	$8_2^+$	2.0270
	$8_3^-$	5.2736	$8_3^-$	0.8160
	$7_2^+$	5.5688	$7_2^+$	0.5760
	$7_3^+$	5.8268	$7_3^+$	1.3338
	$8_4^-$	5.8496	$8_4^-$	0.6720
	$10_1^-$	5.8930	$10_1^-$	1.4354
	$9_1^+$	6.3810	$9_1^+$	1.3682
	$10_2^-$	6.4690	$10_2^-$	0.5760
	$12_1^-$	7.4568	$12_1^-$	1.5638
	$11_1^-$	7.8776	$11_1^-$	1.4966
	$12_2^-$	8.2688	$12_2^-$	0.8120
	$14_1^-$	9.1490	$14_1^-$	1.6922
	$0_1^+$	0.0000	0.0000	
	$2_1^-$	0.8340	0.8016	$2_1^-$
	$0_2^+$	0.9610	1.0953	$0_2^+$
	$2_2^+$	1.4650	1.4186	$2_2^+$
	$4_1^+$	1.7250	1.7621	$4_1^+$
	$3_1^+$	2.0640	2.1462	$3_1^+$
	$2_3^+$	2.4022	2.4153	$2_3^+$
	$0_3^+$	2.4206	2.4206	$0_3^+$
	$4_2^+$	2.4340	2.3430	$4_2^+$
	$0_4^+$	2.5137	2.5137	$0_4^+$
	$2_4^+$	2.5160	2.5417	$2_4^+$
	$4_3^+$	2.5698	2.5698	$4_3^+$
	$2_5^+$	2.7439	2.7439	$2_5^+$
	$3_2^+$	2.8089	3.3	$3_2^+$
	$6_1^+$	2.8841	6	$6_1^+$
	$4_4^+$	2.8861	4	$4_4^+$
	$0_5^+$	2.8880	0	$0_5^+$
	$4_5^+$	3.0657	4	$4_5^+$
	$5_1^+$	3.1321	5	$5_1^+$
	$3_3^+$	3.1831	3	$3_3^+$

Isotope	$I^\pi$	Energy Levels (MeV)		Transition Energy (MeV)
		EXP.	IBM-1	
	$7_1^+$	5.7833	$7_1^+$	1.5623
	$3_2^+$	5.8462	$3_2^+$	2.9714
	$8_2^-$	6.1352	$8_2^-$	0.9905
	$7_2^+$	6.8138	$7_2^+$	1.0305
	$10_1^-$	6.9710	$10_1^-$	1.8763
	$9_1^-$	7.5616	$9_1^-$	3.3406
	$10_2^-$	8.0015	$10_2^-$	1.0305
	$12_1^-$	9.0131	$12_1^-$	2.0421
	$0_1^+$	0.0000	0.0000	
	$2_1^-$	1.4941	0.9218	$2_1^-$
	$0_2^+$	1.2160	1.2960	$0_2^+$
	$2_2^+$	1.7080	1.7438	$2_2^+$
	$4_1^+$	2.1533	1.9720	$4_1^+$
	$2_3^+$	2.1570	2.0738	$2_3^+$
	$0_3^+$	2.3071	1.9941	$0_3^+$
	$3_1^+$	2.4519	2.1137	$3_1^+$
	$2_4^+$	2.5340	2.7518	$2_4^+$
	$4_2^+$	2.8066	2.7920	$4_2^+$
	$0_4^+$	2.8870	2.4660	$0_4^+$
	$2_5^+$	3.0470	3.5256	$2_5^+$
	$4_3^+$	3.0594	2.9800	$4_3^+$
	$0_5^+$	3.1070	3.0240	$0_5^+$
	$6_1^+$	3.2975	3.1506	$6_1^+$
	$0_6^+$	3.3300	0	$0_6^+$
	$2_6^+$	3.3818	2	$2_6^+$
	$2_7^+$	3.4718	2	$2_7^+$
	$2_8^+$	3.5130	2	$2_8^+$
	$4_4^+$	3.6100	4	$4_4^+$
	$4_5^+$	3.6500	4	$4_5^+$
	$4_6^+$	3.7000	4	$4_6^+$
	$6_2^+$	3.7540	3.9686	$6_2^+$
	$5_1^+$	3.7730	5	$5_1^+$
	$0_7^+$	3.9060	0	$0_7^+$
	$6_3^+$	4.0146	6	$6_3^+$

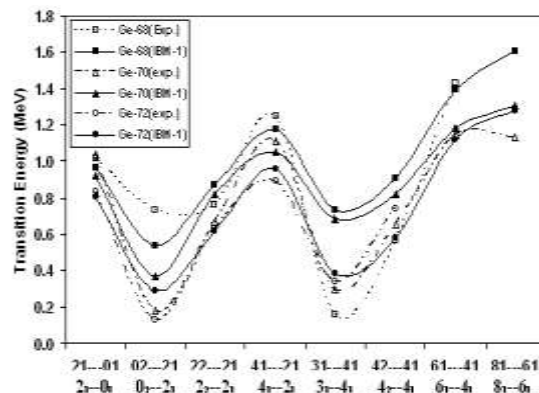


شكل (١): علاقه الزخم الرازي بطبقات المستويات النظرية والعملية لكتائر الجرمانيوم.

Isotope	$I^\pi$	Energy Levels (MeV)		Transition Energy (MeV)
		EXP.	IBM-1	
	$0_1^+$	3.6100	$0_1^+ - 2_2^+$	1.0988
	$2_1^-$	—	$0_2^- - 0_1^+$	0.5451
	$0_2^+$	—	$0_1^+ - 4_1^+$	1.0942
	$0_3^+$	—	$3.5468 - 0_1^+$	0.6627
	$5_1^+$	—	$3.6382 - 5_1^+ - 5_1^+$	0.9601
	$6_4^+$	—	$3.9211 - 6_4^+ - 6_2^+$	0.4939
	$8_1^+$	—	$4.1651 - 8_1^+ - 6_1^+$	1.2810
	$7_3^+$	—	$4.2177 - 7_3^+ - 5_1^+$	1.1456
	$7_2^+$	—	$4.6520 - 7_2^+ - 7_1^+$	0.5743
	$9_1^+$	—	$4.6715 - 9_1^+ - 0_1^+$	1.7872
	$9_2^+$	—	$4.6836 - 9_2^+ - 9_1^+$	0.5185
	$9_3^+$	—	$5.5832 - 9_3^+ - 7_1^+$	1.3055
	$10_1^+$	—	$5.6060 - 10_1^+ - 8_1^+$	1.4409
	$10_2^+$	—	$5.9802 - 10_2^+ - 10_1^+$	0.5742
	$9_2^+$	—	$6.0154 - 9_2^+ - 9_1^+$	0.4322
	$11_1^+$	—	$7.0485 - 11_1^+ - 9_1^+$	1.0351
	$12_1^+$	—	$7.2066 - 12_1^+ - 10_1^+$	1.2264
	$12_2^+$	—	$7.6388 - 12_2^+ - 12_1^+$	0.4322
	$14_1^+$	—	$8.971 - 14_1^+ - 12_1^+$	1.7605

جدول (٤): القيمة النظرية لـ  $\langle \mathbf{I}_f \| \hat{\mathbf{T}}^{(E2)} \| \mathbf{I}_i \rangle$  و  $B(E2)$  (B(E2) و Pramana (2005) و Lederer (1978) مقارنتها مع القيمة العملية المتوفرة لنظائر الجرمانيوم باستخدام برنامج IBM1.For.

Isotopes	Spin sequences	E (MeV)		IBM1		Exp.
		Exp.	IBM1	$\langle \mathbf{I}_f \  \hat{\mathbf{T}}^{(E2)} \  \mathbf{I}_i \rangle$	$B(E2)(\text{fb})$	
Ge 68	$2_+^1 0_+$	1.0158	0.9622	6.5617	$0.8611 \times 10^{-1}$	2.9 (3)
	$0_+^1 2_+$	0.7372	0.5348	3.7684	$0.1435 \times 10^{-1}$	$143 \pm 0.4$
	$2_+^1 2_+$	0.7621	0.8703	8.4711	$0.1435 \times 10^{-1}$	0.08 (3)
	$2_+^1 0_+$	1.7779	1.8325	0.0000	0.0000	
	$4_+^1 2_+$	0.4900	0.3079	-0.0555	$0.3428 \times 10^{-1}$	
	$4_+^1 2_+$	1.2521	1.1782	11.3652	$0.1435 \times 10^{-1}$	2.29 (30)
	$3_+^1 4_+$	0.1609	0.7344	-5.8690	$0.4921 \times 10^{-1}$	
	$3_+^1 2_+$	0.6509	1.0423	9.2797	$0.1230 \times 10^{-1}$	
	$0_+^1 2_+$	0.8391	0.7784	41.500	$0.1722 \times 10^{-1}$	
	$0_+^1 2_+$	1.6012	1.6447	0.0000	0.0000	
	$4_+^1 4_+$	0.5661	0.9103	8.5913	$0.8201 \times 10^{-1}$	
	$4_+^1 2_+$	1.0561	1.2182	9.0106	$0.9021 \times 10^{-1}$	
	$4_+^1 2_+$	1.8182	2.0885	0.0000	0.0000	
	$2_+^1 3_+$	0.5132	0.0343	-0.0949	$0.1800 \times 10^{-1}$	
	$2_+^1 4_+$	0.6741	0.3227	5.4336	$0.5905 \times 10^{-1}$	
	$2_+^1 2_+$	1.1641	0.6306	4.0500	$0.3280 \times 10^{-1}$	
	$2_+^1 2_+$	0.0830	0.8705	7.4403	$0.1107 \times 10^{-1}$	
	$2_+^1 0_+$	0.4080	0.7227	1.6942	0.5741	
	$0_+^1 2_+$	1.4261	1.1694	0.0000	0.0000	
	$2_+^1 0_+$	0.9080	1.0823	5.6191	$0.6315 \times 10^{-1}$	
	$2_+^1 3_+$	1.0962	0.8184	6.2824	$0.7894 \times 10^{-1}$	
	$4_+^1 2_+$	0.6620	1.1733	9.9822	$0.1107 \times 10^{-1}$	
	$4_+^1 4_+$	0.7700	0.5907	3.5074	$0.1367 \times 10^{-1}$	
	$6_+^1 4_+$	0.8620	0.4839	-0.0922	$0.6544 \times 10^{-1}$	
	$6_+^1 4_+$	1.4231	1.3942	14.9630	$0.1722 \times 10^{-1}$	
	$5_+^1 6_+$	0.6864	-6.6917		$0.4071 \times 10^{-1}$	
	$5_+^1 4_+$	2.0806	0.0000	0.0000		
	$6_+^1 6_+$	0.7590	0.9504	8.4403	$0.5480 \times 10^{-1}$	
	$6_+^1 4_+$	1.6210	1.4343	12.3553	$0.1174 \times 10^{-1}$	
	$4_+^1 2_+$	2.7195	0.0000	0.0000		
	$2_+^1 2_+$	1.5015	0.0000	0.0000		
	$8_+^1 6_+$	1.6101	17.1109		$0.1722 \times 10^{-1}$	
	$12_+^1 10_+$	2.0421	14.6724		$0.8611 \times 10^{-1}$	
Ge 70	$2_+^1 0_+$	1.0396	0.9218	7.1869	$0.1033 \times 10^{-1}$	3.6 (4)
	$0_+^1 2_+$	0.1764	0.3742	4.2082	$0.1771 \times 10^{-1}$	$179 \pm 3$
	$2_+^1 0_+$	0.4920	0.4478	-0.0820	$0.1345 \times 10^{-1}$	
	$2_+^1 2_+$	0.6684	0.8220	9.4098	$0.1771 \times 10^{-1}$	4.97
	$4_+^1 2_+$	0.4453	0.2282	-0.0703	$0.5489 \times 10^{-1}$	
	$4_+^1 2_+$	1.1137	1.0502	12.6246	$0.1771 \times 10^{-1}$	1.89 (34)
	$2_+^1 4_+$	0.0037	0.1018	6.1602	$0.7590 \times 10^{-1}$	



شكل (٢): خلاصة طاقات كما مع المستويات الأليافية والنهائية النظرية والعملية لنظائر الجرمانيوم.

من خلال الجدول (٤) تلاحظ المستويات النووية التي يحدث بينها الانتقال الكهربائي رباعي القطب  $B(E2)$  مع قيم هذه الانتقالات وعناصر المصفوفة المختزلة لها مع وجود طاقة أشعة كما المنبعثة منها ومقارنتها مع القيم العملية المتوفرة وقد لوحظ بعض الفروقات في بعض القيم النظرية بسبب اعتماد قيم  $B(E2)$  على القيم الذاتية المستخرجة من برنامج IBM1.For. إذ يوضح الشكل (٣) ان الانتقال  $21+ \rightarrow 22+$  يمثل اقل الانتقالات الكهربائية حدوثاً وذلك لاحتمالية العالية عنده في حدوث الانتقال المغناطيسي ثانوي القطب بينما توجد احتمالية عالية ومنخفضة لمستويات أخرى في حدوث الانتقال الكهربائي رباعي القطب إذ أن الانخفاض يحدث بين المستويات الفردية  $31+, 51+, 61+$  وهذا متوقع كون النظائر تتنمي للتأثر الديناميكي الأهتزازي U(5).

ويبين الجدول (٥) العزوم الكهربائية رباعية القطب  $QI$  الناتجة في المستويات الأرضية والتي تم حسابها من نفس البرنامج (IBMT.For) والذي يعتبر عامل مهم في التشوّهات النووية وقد وجد بأن جميع قيمها كانت سالبة وصغيرة مقارنة بنوى آخرى تتنمى إلى التأثر الديناميكى  $SU(3)$  وهذا يدل على أن نظائر الجرمانيوم (68,70,72Ge) تكون ذات شكل بيضاوي مفلطح قليل التشوّه، إذ أن النوى ذات الشكل البيضاوي المتطاول (Prolate) تمتلك عزماً كهربائياً موجباً ( $QI > 0$ ) بينما النوى ذات الشكل البيضاوي المفاطح (Oblate) تمتلك عزماً كهربائياً سالباً ( $QI < 0$ ) Meyerhof (1967) حيث يبين بأن أعلى تشوّه يحدث في المستوى  $61+$  وأقل تشوّه كان في المستوى  $31+$  الذي يقارب القيمة الصفرية.

جدول (٥): قيم العزوم الكهربائية رباعية القطب لمستويات الحالة الأرضية ومقارنتها مع القيم العلمية المتوفرة لنظائر الجرمانيوم باستخدام برنامج IBM-1 (Raghavan 1989).

- Meyerhof W. E.: (1967) Elements of Nuclear physics. Ed. University of corado, pub. Mc Grown- Hill, p. 126.
- Pramana N.: (2005) j.phys.G: Nucl.and Part. physics, Vol.64, No.2, P.214.
- Raghavan B., Tassie L.J. and Johie J. : (1989), Atom. Nucl. Data Tables, Vol.42, No.189.
- Rowe D. J.: (1970) Nuclear collective Motion “Models and theory”. Ed. Hodgson, pub. Oxford. pp. 22-151.
- Sakai M.: (1984) Atomic Data and Nuclear Data Tables, Vol. 31, p. 400.
- Lederer G. M., Brown E., and Snihab: (1978) Table of Isotopes, 7<sup>th</sup> edition.

**References:**

- Arima A. and Iachello F.: (1987) Interacting Boson Model. Ed. Iachello F., Pub. University of Cambridge, England. pp. 3-236.
- Bonatsos D.: (1988) Interacting Boson Models of nuclear structure Ed. Hodgson P.E., Pub. Oxford University press, NewYork. pp.1-264.
- Casten R. F. and Warner D. D. : (1988) Rev. Mod. Phys. 60, 391.
- Deshalit A. and Feshbach H.: (1974) Theoretical Nuclear physics, Nuclear structure volume I. Ed. Lindqvist T . pub . in Canada , pp. 1-4.

**Abstract:**

Interacting boson model (IBM-1) was used in the present work to study some of nuclear structures for selected Germanium isotopes ( $A=68,70,72$ ) which have vibrational motion of the U(5) dynamical symmetry.

These isotopes have been classified to be dynamical symmetry by comparing the experimental energy levels which taken from the references with the ideal chart for the three dynamical symmetry U(5) , O(6) , SU(3) , and energy ratios  $E(4_1^+)/E(2_1^+)$  ,  $E(6_1^+)/E(2_1^+)$  ,  $E(8_1^+)/E(2_1^+)$  with the ideal values.

Therefore are calculated the energy levels and gamma transitions for these isotopes depending on the total number of boson (N). reduced transition probabilities and their matrix element  $T(E2)$  were calculated, these results help to calculate electric quadrupole moment ( $Q_I$ ). The results compared with the available experimental data were they show good agreement.